

بِسْمِ اللَّهِ الرَّحْمَنِ الرَّحِيمِ



دانشکده فنی و مهندسی

بخش مهندسی مواد و متالورژی

پایان نامه تحصیلی برای دریافت درجه کارشناسی ارشد رشته مهندسی مواد
گرایش شناسایی و انتخاب مواد مهندسی

بررسی آلیاژ نانوساختار مس - کروم - زیرکونیم تهیه شده در فرآیند آلیاژسازی مکانیکی

مؤلف :

سعیدرضا حیدری زاده

استاد راهنما :

دکتر غلامحسین اکبری

استاد مشاور :

دکتر شهریار شرفی

خرداد ماه ۱۳۹۱



این پایان نامه به عنوان یکی از شرایط درجه کارشناسی ارشد به

بخش مهندسی مواد

دانشکده فنی و مهندسی

دانشگاه شهید باهنر کرمان

تسلیم شده است و هیچگونه مدرکی به عنوان فراغت از تحصیل دوره مذبور شناخته نمی شود.

دانشجو: سعید رضا حیدری زاده

استاد راهنمای: جناب آقای دکتر غلامحسین اکبری

استاد مشاور: جناب آقای دکتر شهریار شرفی

داور ۱: جناب آقای دکتر حمید دوست محمدی

داور ۲: جناب آقای دکتر عباس صادق زاده عطار

نماينده تحصيلات تكميلي در جلسه دفاع: سرکار خانم مریم احشام زاده

معاونت پژوهشي و تحصيلات تكميلي دانشکده: سرکار خانم مریم احشام زاده

حق چاپ محفوظ و مخصوص به دانشگاه شهید باهنر کرمان است.

تقدیم به:

مادر مهربانہ

و

روان پاک پدرم

تقدیر و تشکر

اکون که به یاری و توفیق خداوند این پژوهش به پایان رسید، بر خود لازم می‌دانم که تشکر و سپاس فراوانی از خدمات همه اساتید که موقوفیت این پایان نامه مرهون همکاری‌ها، مشاوره‌ها و خدمات ایشان بوده است، نمایم. از جمله:

جناب آقای دکتر غلامحسین اکبری، استاد راهنمای

جناب آقای دکتر شهریار شرفی، استاد مشاور

خانم مهندس افضلی، اطهره دادگری نژاد و فاطمه بقایی، مسئول آزمایشگاه

همچنین سپاس خود را به داوران محترم این پایان نامه جناب آقای دکتر حمید دوست محمدی و جناب آقای دکتر عباس صادق زاده عطار تقدیم می‌دارم و خدمات بی شائبه این بزرگواران را ارج می‌نمایم.

یاد و خاطره همکلاسی‌های عزیزم، دانشجویان کارشناسی ارشد ورودی ۸۸ همواره در ذهنم باقی خواهد ماند.

در نهایت سپاس فراوان خود را نثار می‌کنم به یگانه خواهرم و همسرش، به پاس عاطفه سرشار و گرمای امید بخش وجودشان که در سرددترین روزگاران زندگی بهترین پشتیان من بوده است و به پاس محبت بی دریغشان که هرگز رنگ خاموشی بخود نمی‌گیرد.

سعیدرضا حیدری زاده

چکیده

آلیاژهای پیرسخت شونده‌ی مس - کروم - زیرکنیم به دلیل استحکام و رسانایی بالا کاربردهای گسترده‌ای در صنایع الکتریکی و جوشکاری دارند. در تحقیق حاضر آلیاژسازی مکانیکی با آسیاکاری مخلوط پودرهای خالص مس، کروم و زیرکنیم در سه ترکیب مختلف در یک آسیاب گلوله سیارهای انجام گرفت. مخلوط پودرها در زمان‌های ۴، ۱۲، ۴۸ و ۹۶ ساعت و تحت دو سرعت چرخش محفظه متفاوت آسیا شدند. پودرهای آسیا شده‌ی حاصل با میکروسکوپ الکترونی روبشی (SEM) و پراش اشعه ایکس (XRD) بررسی شدند. اندازه متوسط کریستال و کرنش داخلی با روش ویلیامسون - هال و پارامتر شبکه با روش تابع برون یاب محاسبه شد. در ادامه، مخلوط پودرهای آسیا شده تحت پرس سرد فشرده شدند و در سه دمای ۴۵۰، ۶۰۰ و ۷۵۰ درجه سانتیگراد تف‌جوشی شدند. در نهایت تست ریزسختی سنجی ویکرز در نمونه‌های آسیا و تف‌جوشی شده انجام گرفت. نتایج حاصل نشانگر کاهش اندازه کریستال‌ها تا حد نانومتری و افزایش پارامتر شبکه نسبت به زمان آسیاکاری است، همچنین نتایج حاصل از بررسی تصاویر SEM نشان داد که ذرات پودر در ابتدای آسیاکاری درشت شده و در ادامه کار اندازه متوسط آنها کاهش یافته است، همین‌طور نتایج نشان داد که سختی نمونه‌ها با زمان آسیاکاری رابطه صعودی دارد. افزایش سختی نمونه‌ها بعد از عملیات تف‌جوشی نشانگر وقوع فرآیندهای پیرسختی در اثر حل شدن اتم‌های کروم و زیرکنیم در کریستال‌های مس در حین آسیاکاری است.

کلمات کلیدی: آلیاژسازی مکانیکی، آلیاژ مس - کروم - زیرکنیم، تف‌جوشی، سختی.

فهرست مطالب

عنوان	صفحه
فصل اول(مقدمه) ۱	۱
فصل دوم(مرواری بر منابع و تحقیقات گذشته) ۵	۵
۶-۱-آلیاژهای مس-کروم-زیرکنیم ۶	۶
۷-۲-کاربردها و محدودیت‌ها ۷	۷
۷-۳-حد حلالیت ۷	۷
۷-۱-افزایش حد حلالیت ۷	۷
۸-۲-روش اندازه‌گیری حد حلالیت ۸	۸
۹-۳-محدودیت XRD در تعیین حد حلالیت ۹	۹
۱۰-۴-روش انجاماد سریع ۱۰	۱۰
۱۱-۲-روش آلیاژسازی مکانیکی (MA) ۱۱	۱۱
۱۱-۱-۵-مکانیزم آلیاژسازی مکانیکی ۱۱	۱۱
۱۳-۲-متغیرهای فرآیند آلیاژسازی مکانیکی ۱۳	۱۳
۱۴-۱-۲-۵-۲-مواد خام ۱۴	۱۴
۱۴-۲-۲-۵-۲-سرعت آسیاکاری ۱۴	۱۴
۱۵-۳-۲-۵-۲-زمان آسیاکاری ۱۵	۱۵
۱۵-۴-۲-۵-۲-نسبت وزنی گلوله به پودر ۱۵	۱۵
۱۵-۵-۲-۵-۲-عامل کنترل فرآیند ۱۵	۱۵
۱۶-۶-۲-۵-۲-جنس و اندازه گلوله‌ها (عامل آسیاکاری) ۱۶	۱۶
۱۶-۷-۲-۵-۲-دماهی آسیاکاری ۱۶	۱۶
۱۶-۸-۲-۵-۲-اتمسفر آسیاکاری ۱۶	۱۶
۱۷-۹-۲-۵-۲-نوع آسیاپ ۱۷	۱۷

۱۷	۲-۰-۱- محفظه آسیاب آسیاب
۱۸	۲-۰-۳- اثر متغیرهای فرآیند آلیاژسازی مکانیکی بر حد حلالت حلالت
۱۸	۲-۰-۳-۱- دمای آسیاکاری آسیاکاری
۱۸	۲-۰-۳-۲- عامل کنترل فرآیند فرآیند
۱۸	۲-۰-۳-۳- ترکیب اولیه مخلوط پودر پودر
۱۸	۲-۰-۴- مکانیزم تشکیل نانوساختارها در آلیاژسازی مکانیکی مکانیکی
۲۱	۲-۶- مواد نانوساختار نانوساختار
۲۱	۲-۶-۱- خواص مواد نانوساختار نانوساختار
۲۲	۲-۶-۱-۱- استحکام و سختی نانوساختارها سختی
۲۴	۲-۶-۱-۲- پایداری حرارتی حرارتی
۲۵	۲-۶-۱-۳- قابلیت بالای تفجوشی تفجوشی
۲۵	۲-۶-۲- روش‌های ساخت نانوساختارها ساخت
۲۵	۲-۶-۳- حداقل اندازه دانه قابل دستیابی در MA MA
۲۶	۲-۶-۳-۱- ساختار کریستالی کریستالی
۲۶	۲-۶-۳-۲- دمای ذوب ذوب
۲۷	۲-۶-۳-۳- متغیرهای آسیاکاری آسیاکاری
۲۸	۲-۶-۳-۳-۱- انرژی آسیاکاری آسیاکاری
۲۸	۲-۶-۳-۳-۲- دمای آسیاکاری آسیاکاری
۲۸	۲-۶-۳-۳-۳- اثرات آلیاژسازی آلیاژسازی
۳۰	۲-۶-۴- فلزات نانوساختار fcc
۳۰	۲-۷- کارمکانیکی مکانیکی
۳۱	۲-۸- مکانیزم‌های نوین استحکام‌دهی آلیاژهای مس مس
۳۱	۲-۸-۱- استحکام‌دهی از ذرات ریز ریز

۳۱	۱-۱-۸-۲- آلیاژهای پر اکنده سخت
۳۲	۲-۱-۸-۲- آلیاژهای رسوب سخت
۳۳	۲-۹- عملیات حرارتی تابکاری
۳۴	۲-۱۰- تحقیقات انجام شده بر روی آلیاژهای پر استحکام مس
۳۴	۲-۱۱- تحقیقات انجام شده در مورد افزایش حلالیت عناصر کم محلول در مس
۳۵	۲-۱۰-۲- تحقیقات انجام شده بر روی آلیاژهای رسوب سخت Cu-Zr، Cu-Cr، Cu-Cr-Zr
۳۸	فصل سوم (مواد و روش پژوهش)
۳۹	۳-۱- مواد اولیه
۳۹	۳-۲- آسیاکاری پودرها و متغیرهای آن
۴۱	۳-۳- آنالیز پودرها
۴۱	۳-۳-۱- آنالیز پراش اشعه ایکس (XRD)
۴۱	۳-۳-۲- پارامتر شبکه
۴۳	۳-۳-۳- اندازه کریستال و کرنش داخلی
۴۳	۳-۳-۳-۲- آنالیز میکروسکوپ الکترونی روبشی (SEM)
۴۴	۳-۳-۳- عملیات تفجوشی
۴۴	۳-۴-۱- پرس سرد
۴۴	۳-۴-۲- عملیات حرارتی
۴۴	۳-۴-۳- تست ریزسختی سنگی
۴۵	فصل چهارم (ارائه نتایج)
۴۶	۴-۱- آنالیز مخلوط پودرهای Cu-Cr-Zr در آسیاکاری
۴۶	۴-۱-۱- الگوی XRD
۵۴	۴-۱-۲- پارامتر شبکه
۵۰	۴-۱-۳- اندازه متوسط کریستال و کرنش داخلی

۴-۲-۱- مورفولوژی و اندازه ذرات پودر ۵۷
۴-۲-۲- مورفولوژی و اندازه ذرات پودر در شرایط آسیاکاری و ۱۵ دقیقه استراحت ۵۷
۴-۲-۳- مورفولوژی ذرات پودر در شرایط آسیاکاری ۱ ساعت با سرعت راستگرد ۳۰۰ دور در دقیقه و ۳۰ دقیقه با سرعت چپگرد ۸۰ دور در دقیقه ۶۱
۴-۳- ریزسختی ۶۳
فصل پنجم(تحلیل و بحث نتایج) ۷۰
۴-۱- آنالیز پراش اشعه ایکس ۷۱
۴-۲- تغییرات پارامتر شبکه، اندازه کریستال و کرنش داخلی ۷۱
۴-۳- مورفولوژی و اندازه ذرات پودر ۷۴
۴-۴- ریزسختی ۷۶
فصل ششم(نتیجه‌گیری و پیشنهادات) ۷۹
۶-۱- نتیجه‌گیری ۸۰
۶-۲- پیشنهادات ۸۱

فهرست شکل‌ها

صفحه

عنوان

..... ۳	شکل ۱-۱: مفهوم اصلی از تبادل انرژی در جهت ساخت مواد غیر تعادلی
..... ۹	شکل ۱-۲: تغییر پارامتر شبکه نسبت به زمان آلیاژسازی مکانیکی
..... ۱۲	شکل ۲-۲: نحوه بدام افتادن ذرات پودر بین دو گلوله
..... ۲۱	شکل ۲-۳: شماتیکی از دو گروه از اتم‌ها در فلز نانوکریستال هم محور
..... ۲۲	شکل ۲-۴: متوسط کرنش شبکه در ترکیب آسیا شده AlRu بصورت تابعی از زمان آسیاکاری
..... ۲۳	شکل ۲-۵: تغییر سختی بر حسب $d^{-1/2}$ در آلیاژهای $\gamma\text{-TiAl}$ تهیه شده با روش‌های مختلف
..... ۲۷	شکل ۲-۶: اندازه دانه نرمال شده حاصل از آسیاکاری بر حسب دمای ذوب
..... ۲۹	شکل ۲-۷: حداقل اندازه دانه در فلزات fcc آسیا شده بر حسب دمای ذوب
..... ۳۰	شکل ۲-۸: کرنش داخلی در فلزات fcc آسیا شده بر حسب ذمای ذوب
..... ۳۰	شکل ۲-۹: کرنش در حد اتمی نسبت به عکس اندازه دانه در سرب
..... ۳۹	شکل ۳-۱: ذرات پودر اولیه مس قبل از آسیاکاری
..... ۴۰	شکل ۳-۲: (الف) آسیاب گلوله سیارهای و (ب) محفظه آسیاب و گلوله‌ها در دو اندازه
..... ۴۳	شکل ۳-۳: نمودار ویلیامسون - هال در ترکیب آسیا شده به مدت ۴ ساعت
..... ۴۶	شکل ۴-۱: الگوی XRD حاصل از مخلوط پودرها با ترکیب Cu-3wt%Cr-3wt%Zr
..... ۴۸	شکل ۴-۲: الگوی XRD حاصل از زمان‌های مختلف آسیاکاری در مخلوط پودرها با ترکیب Cu-0.5wt%Cr-0.5wt%Zr
..... ۵۰	شکل ۴-۳: الگوی XRD حاصل از زمان‌های مختلف آسیاکاری در مخلوط پودرها با ترکیب Cu-1.5wt%Cr-1.5wt%Zr
..... ۵۲	شکل ۴-۴: الگوی XRD حاصل از زمان‌های مختلف آسیاکاری در مخلوط پودرها با ترکیب Cu-3wt%Cr-3wt%Zr
..... ۵۳	شکل ۴-۵: الگوی XRD سه بعدی حاصل از زمان‌های مختلف آسیاکاری در مخلوط پودرهای Cu-0.5wt%Cr-0.5wt%Zr

- شکل ۴-۶: الگوی XRD سه بعدی حاصل از زمان‌های مختلف آسیاکاری در مخلوط پودرهای Cu-1.5wt%Cr-1.5wt%Zr ۵۳
- شکل ۴-۷: الگوی XRD سه بعدی حاصل از زمان‌های مختلف آسیاکاری در مخلوط پودرهای Cu-3wt%Cr-3wt%Zr ۵۴
- شکل ۴-۸: تغییر پارامتر شبکه مس بر حسب زمان آسیاکاری در سه مخلوط پودر ۵۵
- شکل ۴-۹: تغییر اندازه کریستال بر حسب زمان آسیاکاری در سه مخلوط پودر ۵۶
- شکل ۴-۱۰: تغییر کرنش داخلی بر حسب زمان آسیاکاری در سه مخلوط پودر ۵۷
- شکل ۴-۱۱: روند تغییر مورفولوژی و اندازه ذرات پودر در ترکیب Cu-0.5 Cr-0.5 wt%Zr ۵۸
- شکل ۴-۱۲: روند تغییر مورفولوژی و اندازه ذرات پودر در ترکیب Cu-1.5 Cr-1.5 wt%Zr ۵۹
- شکل ۴-۱۳: روند تغییر مورفولوژی و اندازه ذرات پودر در ترکیب Cu-3 wt% Cr-3 wt%Zr طی آسیاکاری ۶۰
- شکل ۴-۱۴: تغییر اندازه ذرات مس مخلوط پودرها بر حسب زمان آسیاکاری ۶۱
- شکل ۴-۱۵: روند تغییر مورفولوژی و اندازه ذرات پودر در ترکیب Cu- Cr-0.5 wt%Zr ۰.۵wt% طی آسیاکاری بدون زمان استراحت ۶۲
- شکل ۴-۱۶: تغییر ذرات پودر در دو شرایط آسیاکاری همراه و بدون زمان استراحت ۶۲
- شکل ۴-۱۷: تغییر ریزسختی آلیاژهای Cu-Cr-Zr بر حسب زمان آسیاکاری و در (الف) حالت آسیاشده و (ب) تفجوشی در دمای ۴۵۰، ۶۰۰ و ۷۵۰°C ۶۵
- شکل ۴-۱۸: تغییرات ریزسختی در ترکیب Cu-0.5wt%Cr-0.5wt%Zr بر حسب دمای تفجوشی در زمان‌های مختلف آسیاکاری ۶۶
- شکل ۴-۱۹: تغییرات ریزسختی در ترکیب Cu-1.5wt%Cr-1.5wt%Zr بر حسب دمای تفجوشی در زمان‌های مختلف آسیاکاری ۶۶
- شکل ۴-۲۰: تغییرات ریزسختی در ترکیب Cu-3wt%Cr-3wt%Zr بر حسب دمای تفجوشی در زمان‌های مختلف آسیاکاری ۶۷

شکل ۴-۲۱: تغییرات ریزسختی در ترکیب Cu-0.5wt%Cr-0.5wt%Zr بر حسب زمان

آسیاکاری در حالت آسیاشده و در سه دمای تف جوشی ۶۸

شکل ۴-۲۲: تغییرات ریزسختی در ترکیب Cu-1.5wt%Cr-1.5wt%Zr بر حسب زمان

آسیاکاری در حالت آسیاشده و در سه دمای تف جوشی ۶۸

شکل ۴-۲۳: تغییرات ریزسختی در ترکیب Cu-3wt%Cr-3wt%Zr بر حسب زمان آسیاکاری در

حالت آسیاشده و در سه دمای تف جوشی ۶۹

فهرست جداول

صفحه

عنوان

جدول ۲-۱: خواص کریستالوگرافی و فیزیکی مس، کروم و زیرکنیم ۷
جدول ۲-۲: طبقه بندی مواد نانوساختار و روش‌های معمول ساخت ۲۰
جدول ۳-۱: شرایط آسیا کاری مورد استفاده ۴۲

فصل اول

مقدمه

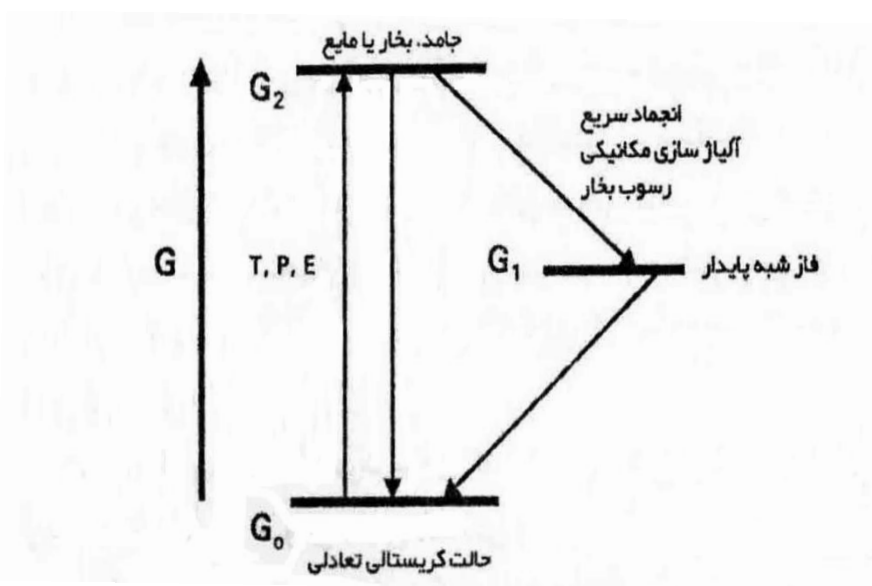
آلیاژهای صنعتی روز به روز طیف گسترده‌تری پیدا می‌کنند و دارای خصوصیات و کاربردهای بیشتری می‌شوند. آلیاژهایی که در دمای بالا بتوانند استحکام خود را حفظ کنند و هدایت الکتریکی مناسبی داشته باشند بسیار مورد توجه هستند. آلیاژهای کم محلول دوتایی مس نظری Cu-Cr [۱-۲] و Cu-Zr [۳-۴] و آلیاژهای سه‌تایی Cu-Cr-Zr [۵-۷] عملکرد مطلوبی در الکترودهای جوش نقطه‌ای [۸-۱۰] و مبدل‌های حرارتی [۸] نشان می‌دهند. استحکام‌دهی در این آلیاژها با حفظ رسانایی مس نسبت به استحکام‌دهی محلول جامد، خواص مکانیکی آن را افزایش می‌دهد و محدودیت استفاده از مس را در صنایع مختلف به دلیل استحکام پایین آن، برطرف می‌سازد.

در آلیاژهای رقیق رسوب سخت Cu-Cr-Zr به دلیل حلالت پایین عناصر کروم و زیرکنیم در مس، کسر حجمی رسوبات حاصل از پیرسازی کم بوده و استحکام، چندان افزایش نمی‌یابد. در سال‌های اخیر از ویژگی نانوساختارها در راستای افزایش حلالت عناصر آلیاژی کم محلول استفاده شده است [۱۱]. مواد نانوساختار توسط فرآیندهایی که به صورت فاز بخار (مثلاً تصعبید گاز خنثی)، فاز مایع (مثلاً رسوب الکتریکی، انجماد سریع) و حالت جامد (برای مثال آلیاژسازی مکانیکی) هستند، ساخته می‌شوند. آلیاژسازی مکانیکی^۱ و انجماد سریع^۲ کاربرد گسترده‌ای یافته‌اند. با این وجود، انواع روش‌های انجماد سریع، فرآیندهای تولید طولانی و پیچیده‌ای با بازدهی اندکی را دارند. در نتیجه قیمت محصول نهایی تولیدی بسیار زیاد خواهد بود. یکی از روش‌های مهم تولید مواد نانو ساختار، روش آلیاژسازی مکانیکی است. آلیاژسازی مکانیکی به دلیل امکان تشکیل جامد یکنواخت و غنی‌تر و توانایی آن در تولید مقادیر زیادی از مواد در حالت جامد، با استفاده از تجهیزات ساده و در دمای اتاق، بیشتر گسترش یافته است [۱۲]. آلیاژسازی مکانیکی شامل تغییر شکل تکراری (جوش خوردن، شکستن و جوش خوردن مجدد) ذرات پودری در یک آسیای پر انرژی است تا هنگامی که ترکیب مورد نظر بدست آید. نشان داده شده است که دانه‌های دارای ابعاد نانومتری، تقریباً در هر ماده‌ای پس از مدتی آسیا کردن قابل دستیابی است [۱۳-۱۴].

¹ Mechanical alloying

² Rapid solidification

در دو روش آلیاژسازی مکانیکی و انجاماد سریع سعی می‌شود، با دادن انرژی ابتدا ساختاری غیر تعادلی بدست آورد و سپس در مراحل بعدی به ساختار مطلوب رسید(شکل ۱-۱). توانایی فرآیندهای مختلف در تولید ساختارهای شبه تعادلی (نیمه پایدار)، با استفاده از روش‌های متداول که اندازه گیری و یا تخمین انحراف از تعادل است، ارزیابی می‌شود. این انحراف از تعادل حداقل انرژی است که می‌تواند به صورت اضافی در ساختار پایدار و یا تعادلی آن ذخیره شود. مقایسه دو روش آلیاژسازی مکانیکی و انجاماد سریع توسط محققین نشان می‌دهد که روش آلیاژسازی مکانیکی، انحراف از حالت تعادل بیشتری را نسبت به انجاماد سریع ایجاد می‌کند، که نشانگر پتانسیل فوق العاده‌ی این روش در توسعه‌ی مواد غیر تعادلی است[۱۲].



شکل ۱-۱- مفهوم اصلی از تبادل انرژی در جهت ساخت مواد غیر تعادلی[۱۲].

با آلیاژسازی مکانیکی و تشکیل محلول جامد فوق اشباع و نانوساختار مس - کروم - زیرکنیم، کسر حجمی بالایی از رسوبات همدوس می‌توانند در پیرسازی محلول جامد تشکیل شوند. در عملیات حرارتی علاوه بر رسوب‌دهی، فرآیندهای نرمکاری بازیابی و تبلور مجدد به طورهمزمان اتفاق می‌افتد و رقابت بین این پدیده‌ها، سختی و استحکام نهایی آلیاژ را تعیین می‌کند. ذکر این نکته حائز اهمیت است که در سیستم مس - کروم - زیرکنیم، در محدوده وسیعی از ترکیب شیمیایی رسوبات مختلف غنی از کروم و زیرکنیم تشکیل می‌شوند[۱۵] و با اندازه، مورفولوژی و میزان همدوسی متفاوت، سطح استحکام حاصل را تغییر می‌دهند.

در پژوهش حاضر، با استفاده از فرآیند آلیاژسازی مکانیکی، محلول جامد فوق اشباع مس - کروم - زیرکنیم در ترکیبات مختلفی از مخلوط پودر تهیه شده و توسط تکنیک‌های XRD و میکروسکوپ الکترونی روبشی، تشکیل محلول جامد فوق اشباع و روند تغییر مشخصه‌های ذرات پودر و کریستال‌های آن در زمان‌های مختلف آسیاکاری بررسی شدند. در ادامه، عملیات حرارتی تفجوشی در آلیاژ حاصل از آسیاکاری و در دماهای مختلف انجام گرفت. تغییرات سختی آلیاژ تحت عملیات حرارتی، با میکروسختی سنج و یکرز مورد مطالعه قرار گرفتند.

امکان دستیابی به استحکام و رسانایی بالا در آلیاژهای Cu-Cr-Zr باعث شد در این کار از عناصر کروم و زیرکنیم برای ساخت آلیاژ پر استحکام مس استفاده شود. از طرفی سعی شد با تشکیل محلول جامد فوق اشباع در فرآیند غیر تعادلی آلیاژسازی مکانیکی، مشکل حلایت پایین کروم و زیرکنیم رفع شود و بدین ترتیب، استحکام دهی رسوبی بالای آن تأمین گردد. برای بررسی خواص مکانیکی نمونه‌ها از سنجش سختی استفاده گردید. سختی به عنوان نماینده خواص مکانیکی و معیاری مناسب برای اندازه‌گیری خواص مکانیکی نمونه‌ها استفاده گردید. به طور کلی هدف از انجام این کار بررسی پارامترهایی همچون اندازه کریستال، پارامتر شبکه، کرنش داخلی و سختی آلیاژ بوده است و شرایط بهینه تولید آلیاژ در حین آسیاکاری با استفاده از پارامترهای مذکور بررسی شده است.

با استفاده از نتایج حاصل از این پژوهش، پارامترهای مؤثر در مرحله آلیاژسازی مکانیکی و عملیات حرارتی پیراسازی برای ایجاد خواص بهینه مورد بررسی قرار گرفتند.

فصل دوم

مرواری بر منابع و تحقیقات گذشته

۱-۲-آلیاژهای مس - کروم - زیرکنیم

عنصر مس به دلیل هدایت الکتریکی بسیار مطلوب، مقاومت به خوردگی خوب و خواص شکل‌پذیری مناسب، کاملاً شناخته شده است، ولی در صنایع به علت استحکام اندکی که دارد، بیشتر از آلیاژهای پایه مس استفاده می‌شود[۱۶]. با توجه به این که عناصر آلیاژی باعث کاهش هدایت الکتریکی مس می‌شوند می‌بایست راه حلی اتخاذ نمود تا علاوه بر افزایش استحکام، هدایت الکتریکی این عنصر کاهش نیابد.

عناصر Pd، Pt، Au و Ni به طور کامل در مس حل می‌شوند، اما با وجود بهبود استحکام به واسطه تشكیل محلول جامد، هدایت الکتریکی را به شدت کاهش می‌دهند. از سوی دیگر، عناصر کم محلول مانند Cr، Zr، Mg، B و اغلب عناصر واسطه، با توجه به حلالیت ناچیزشان در مس، هدایت الکتریکی را کم نمی‌کنند، اما در عین حال استحکام را نیز چندان افزایش نمی‌دهند[۱۷]. بهترین شیوه برای افزایش استحکام و بهره مندی از هدایت الکتریکی مطلوب، استفاده از عناصر آلیاژی کم محلول به همراه به کار گیری شیوه استحکام دهی سختی رسوی است[۱۸]. در این شیوه به کمک روش‌های تولید موجود و با ایجاد محلول جامد فوق اشباع و انجام عملیات پیرسازی، رسوبات بسیار ریز و پراکنده‌ای در زمینه‌ی آلیاژ ایجاد می‌شوند. در نتیجه با خروج عنصر آلیاژی حل شده از محلول جامد فوق اشباع، هدایت الکتریکی که در اثر ایجاد محلول جامد کاهش یافته بود، دوباره افزایش می‌یابد. از سوی دیگر به دلیل حضور رسوبات ریز همدوس و پراکنده در زمینه‌ی آلیاژ، استحکام نیز افزایش می‌یابد.

کروم و زیرکنیم به عنوان عناصر کم محلول در مس کاربرد فراوانی در آلیاژسازی دارند. هدایت الکتریکی و حرارتی بالا، استحکام مناسب، شکل‌پذیری و مقاومت به خوردگی خوب در این دسته از آلیاژها سبب افزایش کاربرد آنها در صنایع شده است[۱۸-۱۹]. در جدول (۱-۲) خواص کریستالوگرافی و فیزیکی سه عنصر مس، کروم و زیرکنیم آورده شده است[۲۰].